

ANALISIS PERFORMA EFEKTIVITAS KERJA *HEAT EXCHANGER HYDRAULIC SYSTEM* SAAT TEMPERATUR NORMAL DAN TINGGI PADA LINE PRODUKSI *SHEARING LINE 1* PT KRAKATAU STEEL DENGAN METODE LMTD DAN NTU



DEWANGGA BAGASKARA

NIM : 41318120034

PROGRAM STUDI TEKNIK MESIN

FAKULTAS TEKNIK

UNIVERSITAS MERCU BUANA

JAKARTA 2020

LAPORAN TUGAS AKHIR

ANALISIS PERFORMA EFEKTIVITAS KERJA *HEAT EXCHANGER HYDRAULIC SYSTEM* SAAT TEMPERATUR NORMAL DAN TINGGI PADA LINE PRODUKSI *SHEARING LINE 1* PT KRAKATAU STEEL DENGAN METODE LMTD DAN NTU



Nama : Dewangga Bagaskara

Nim : 41318120034

Program Studi : Teknik Mesin

**DIAJUKAN UNTUK MEMENUHI SYARAT KELULUSAN MATA KULIAH
TUGAS AKHIR PADA PROGRAM SARJANA STRATA SATU (S1)**

MEI 2020

HALAMAN PENGESAHAN

ANALISIS PERFORMA EFEKTIVITAS KERJA HEAT EXCHANGER HYDRAULIC SYSTEM SAAT TEMPERATUR NORMAL DAN TINGGI PADA LINE PRODUKSI SHEARING LINE 1 PT KRAKATAU STEEL DENGAN METODE LMTD DAN NTU



Disusun Oleh:

Nama : Dewangga Bagaskara

NIM : 41318120034

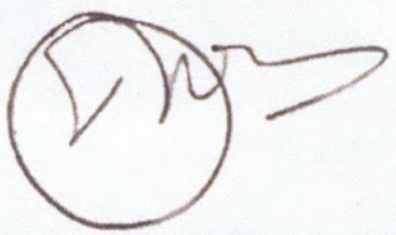
Program Studi : Teknik Mesin

UNIVERSITAS
MERCU BUANA
Telah diperiksa dan disetujui oleh pembimbing

Pada tanggal: 11 Agustus 2020

Mengetahui,

Dosen Pembimbing



Ir. Dadang Suhendra Permana, M.SI

Koordinator Tugas Akhir



Alief Avicenna Luthfie S.T., M.Eng

HALAMAN PERNYATAAN

Yang bertanda tangan di bawah ini :

Nama : Dewangga Bagaskara

Nim : 41318120034

Jurusan : Teknik Mesin

Fakultas : Teknik

Judul Tugas Akhir : Analisis Efektivitas Kerja *Heat Exchanger*
Hydraulic System Saat Temperatur Normal dan
Tinggi Pada Line Produksi *Shearing Line 1* PT.
Krakatau Steel Dengan Metode LMTD dan NTU.

Dengan ini menyatakan bahwa saya melakukan Tugas Akhir dengan sesungguhnya dan hasil penulisan Laporan Tugas Akhir yang telah saya buat ini merupakan hasil karya saya sendiri dan benar keasliannya. Apabila ternyata di kemudian hari penulisan Laporan Tugas Akhir ini merupakan hasil plagiat atau penjiplakan terhadap karya orang lain, maka saya bersedia mempertanggung jawabkan sekaligus bersedia menerima sanksi berdasarkan aturan di Universitas Mercu Buana.

Demikian pernyataan ini saya buat dalam keadaan sadar dan tanpa paksaan

MERCU BUANA

Jakarta, 12 Mei
2020



Dewangga
Bagaskara

KATA PENGANTAR

Assalamualaikum Warahmatullahi Wabarakatuh

Puji syukur atas kehadirat Allah SWT yang telah memberikan rahmat dan hidayah-Nyalah sehingga penulis dapat menyelesaikan proposal Tugas Akhir yang berjudul “*Analisis Efektivitas Kerja Heat Exchanger Hydraulic System Saat Temperatur Normal dan Tinggi Pada Line Produksi Shearing Line 1 PT. Krakatau Steel Dengan Metode LMTD dan NTU*“.

Penyusunan proposal Tugas Akhir ini tidak terlepas dari bantuan dan dukungan dari berbagai pihak. Pada kesempatan ini penulis ingin mengucapkan terima kasih kepada :

1. Kedua orang tua dan segenap keluarga yang senantiasa memberi semangat, dan do'a dalam menyelesaikan Tugas Akhir.
2. Bapak Ir. Dadang Suhendra Permana, M.Si, selaku Dosen Pembimbing Tugas Akhir.
3. Bapak Alief Avicenna Luthfie, S.T., M.Eng, selaku Sekertaris Jurusan Teknik Mesin Universitas Mercu Buana.
4. Bapak Dr. Nanang Ruhyat, M.T. selaku Ketua Program Studi Teknik Mesin Universitas Mercu Buana.
5. Rekan rekan mekanik *Shearing Line* dan *HSPM* dinas MS HSM yang telah membantu penulis dalam pengambilan data
6. Seluruh teman-teman Teknik Mesin Universitas Mercu Buana yang telah memberikan motivasi dalam menyelesaikan Tugas Akhir

Penulis menyadari bahwa laporan ini masih terdapat kekurangan, oleh karena itu sangat mengharapkan kritik dan saran yang bersifat membangun dan berharap semoga laporan ini bermanfaat dan berguna bagi pembaca, terima kasih.

Wassalamualaikum Warohmatullahi Wabarakatuh.

Jakarta, Mei 2020

PENULIS

ABSTRAK

System hydraulic shearing line memiliki *heat exchanger* yang berfungsi untuk menurunkan temperatur *oil hydraulic* akibat proses pemakaian *system*. Ditemukan kebocoran dari aktuator dan *valve hydraulic* akibat temperatur *oil hydraulic* panas serta dapat menyebabkan *system overheat* dan mengakibatkan *system hydraulic* mati. Pada penelitian ini dilakukan perhitungan teoritis efektivitas *heat exchanger* menggunakan metode LMTD (*logarithmic Mean Temperature Difference*) dan NTU (*Number of Transfer Units*) berdasarkan data temperatur normal pada tanggal 27-31 Oktober 2019 yang mengacu pada histori perawatan berkala *heat exchanger* dan data temperatur tinggi mengacu pada data delay mekanik 2-6 Maret 2020. Kemudian data temperatur normal dan temperatur tinggi disimulasikan pada *software solidworks flow simulation* untuk mengetahui distribusi temperatur dan mendapat nilai defiasi temperatur antara perhitungan teoritis dan setelah simulasi. Didapatkan nilai perhitungan teoritis efektivitas kondisi temperatur normal sebesar 46,64% mengalami penurunan sebesar 14,99% pada kondisi temperatur tinggi. Serta didapatkan nilai defiasi pada simulasi *solidworks flow simulation* terhadap kondisi temperatur normal pada *outlet oil hydraulic* 47,8 °C dan *outlet air pendingin* 39,45 °C. sedangkan pada kondisi temperatur tinggi *outlet oil hydraulic* 51,83 dan *outlet air pendingin* 42,8 °C. Penurunan nilai efektivitas *heat exchanger* disebabkan oleh *fouling* dan kebocoran dari *system*, sedangkan nilai defiasi antara perhitungan teoritis dan setelah simulasi *solidworks flow simulation* disebabkan oleh faktor-faktor yang tidak dituliskan pada perhitungan teoritis.

Kata kunci : Shearing Line 1, Heat Exchanger, Efektivitas, Solidworks Flow Simulation

UNIVERSITAS
MERCU BUANA

ABSTRACT

Hydraulic shearing line system has a heat exchanger that serves to reduce the temperature of the hydraulic oil due to the system usage process. Found a leaked from the actuator and hydraulic valve due to the temperature of the hot hydraulic oil and can cause the system to overheat and the hydraulic system to turn off. In this research, theoretical calculations of the effectiveness of heat exchangers using LMTD (logarithmic Mean Temperature Difference) and NTU (Number of Transfer Units) methods are based on normal temperature data on October 27-31 October 2019 which refers to the periodic heat exchanger maintenance history and high temperature data refers on mechanical delay data from March 2-6, 2020. Then the normal and high temperature data are simulated in the solidworks flow simulation software to determine the temperature distribution and get the temperature defiation value between theoretical calculations and after simulation. The theoretical calculation value of the effectiveness of normal temperature conditions of 46.64% has decreased by 14.99% in high temperature conditions. And defiation values obtained in the simulation of solidworks flow simulation of normal temperature conditions at the 47.8 °C hydraulic oil outlet and 39.45 °C cooling water outlet. while at high temperature conditions the hydraulic oil outlet is 51.83 °C and the cooling water outlet is 42.8 °C. The decrease in the value of the effectiveness of the heat exchanger is caused by fouling and leakage from the system, while the defiation value between the theoretical calculations and after the simulation of solidworks flow simulation is caused by factors not written on the theoretical calculations.

Keywords: Shearing Line 1, Heat Exchanger, Effectiveness, Solidworks Flow Simulation.

UNIVERSITAS
MERCU BUANA

DAFTAR ISI

HALAMAN PENGESAHAN	iii
HALAMAN PERNYATAAN	iii
KATA PENGANTAR	iv
ABSTRAK	v
ABSTRACT	vi
DAFTAR ISI	vii
DAFTAR GAMBAR	x
DAFTAR TABEL	xii
DAFTAR SIMBOL	xiii
BAB I PENDAHULUAN	
1.1 LATAR BELAKANG	1
1.2 RUMUSAN MASALAH	2
1.3 BATASAN MASALAH	3
1.4 TUJUAN PENELITIAN	3
1.5 MANFAAT PENELITIAN	3
1.6 METODE PENGUMPULAN DATA	3
1.7 SISTEMATIKA PENULISAN LAPORAN	4
BAB II DASAR TEORI	
2.1 PERPINDAHAN KALOR	6
2.2 ALAT PENUKAR KALOR (HEAT EXCHANGER)	6
2.2.1 SHELL AND TUBE HEAT EXCHANGER	9
2.2.2 KOMPONEN-KOMPONEN HEAT EXCHANGER	11
2.3 HEAT EXCHANGER HYDRAULIC SYSTEM SHEARING LINE	14
2.4 PERHITUNGAN HEAT EXCHANGER TYPE SHELL AND TUBE	15
2.4.1 LAJU PERPINDAHAN KALOR	15
2.4.2 TOTAL KOEFISIEN PERPINDAHAN KALOR MENYELURUH	16
2.4.3 EFEKTIVITAS	18
2.5 METODE PERHITUNGAN PEPINDAHAN PANAS	19
2.5.1 LMTD (<i>LOGARITHMIC MEAN TEMPERATURE DIFFERENCE</i>)	19
2.5.2 NTU (<i>NUMBER OF TRANSFER UNIT</i>)	20
2.5.3 FOULING FACTOR	20
BAB III METODE PENELITIAN	22
3.1 PERSIAPAN AWAL	22
3.2 PENGAMBILAN DATA	22
3.2.1 KLASIFIKASI KONDISI TEMPERATUR NORMAL DAN TINGGI <i>OIL HYDRAULIC</i>	22
3.2.2 PENGAMBILAN DATA BERDASARKAN DATA TEMPERATUR NORMAL	24

3.2.3 PENGAMBILAN DATA BERDASARKAN DATA TEMPERATUR TINGGI	24
3.3 PENGOLAHAN DATA	25
3.4 SIMULASI	26
3.4.1 <i>PREPOCCESOR</i>	26
3.4.2 <i>PHYSICAL FEATURES</i>	26
3.4.3 <i>INITIAL CONDITION</i>	27
3.4.4 <i>BOUNDARY CONDITION</i>	27
3.4.5 <i>MESHING</i>	27
3.5 DIAGRAM ALIR PENELITIAN	29
3.6 DIAGRAM PENGAMBILAN DATA	30
3.6 DIAGRAM ANALISIS PERHITUNGAN	30
3.8 PABRIK <i>HOT STRIP MILL</i> (HSM)	32
3.8.1 <i>MILL LINES</i>	32
3.8.2 <i>SHEARING LINE 1</i>	34
3.8.3 PRINSIP KERJA HYDRAULIC SYSTEM <i>SHEARING LINE 1</i>	35
3.8.4 PRINSIP KERJA <i>HEAT EXCHANGER HYDRAULIC SYSTEM SHEARING LINE 1</i>	35
3.9 ANALISIS PERHITUNGAN <i>HEAT EXCHANGER SYSTEM HYDRAULIC SHEARING LINE 1</i>	36
3.9.1 LMTD (<i>LOGARITHMIC MEAN TEMPERATURE DIFFERENCE</i>) PADA <i>HEAT EXCHANGER SHEARING LINE 1</i>	37
3.9.2 NTU (<i>NUMBER OF TRANSFERN UNIT</i>) PADA <i>HEAT EXCHANGER SHEARING LINE 1</i>	37
3.10 PERALATAN PENELITIAN	38
3.11 LANGKAH-LANGKAH ANALISIS PERHITUNGAN	39
BAB IV ANALISIS DAN PERHITUNGAN	
4.1 KARAKTERISTIK FLUIDA YANG DIGUNAKAN	41
4.2 ANALISIS PERHITUNGAN BERDASARKAN DATA TEMPERATUR NORMAL	41
4.2.1 PERPINDAHAN KALOR MENGGUNAKAN METODE LMTD (<i>LOGARITHMIC MEAN TEMPERATUR DIFFERENCE</i>)	43
4.2.2 METODE NTU (<i>NUMBER OF TRANSFER UNIT</i>)	46
4.2.3 PERHITUNGAN FOULING	47
4.3 ANALISIS PERHITUNGAN BERDASARKAN DATA TEMPERATUR TINGGI	48
4.3.1 PERPINDAHAN KALOR MENGGUNAKAN METODE LMTD (<i>LOGARITHMIC MEAN TEMPERATUR DIFFERENCE</i>)	50
4.3.2 METODE NTU (<i>NUMBER OF TRASFER UNIT</i>)	53
4.3.3 PERHITUNGAN FOULING	54
4.4 SIMULASI PERUBAHAN TEMPERATUR MENGGUNAKAN <i>SOLIDWORKS FLOW SIMULATION</i>	55
4.4.1 SIMULASI <i>HEAT EXCHANGER</i> TEMPERATUR NORMAL	57

4.4.2 SIMULASI <i>HEAT EXCHANGER TEMPERATUR TINGGI</i>	59
4.3 HASIL DAN PEMBAHASAN	62
4.3.1 <i>FOULING</i>	64
4.3.2 KEBOCORAN SYSTEM	67
4.4 REKOMENDASI HEAT EXCHANGER	68
5.1 KESIMPULAN	71
5.2 PENUTUP	73



DAFTAR GAMBAR

Gambar 2. 1 Skema kerja masing-masing kriteria alat penukar kalor (Kakac, 2002)	9
Gambar 2. 2 <i>Shell and Tube Heat Exchanger</i> (Holman, 2010)	9
Gambar 2. 3 <i>Shell and tube heat exchanger</i> dengan 1 <i>shell pass</i> dan 1 <i>tube pass</i> . (Cengel, 2003)	9
Gambar 2. 4 <i>Shell and tube heat exchanger</i> dengan (a) 1 <i>shell pass</i> dan dua <i>tube pass</i> . (b) 2 <i>shell pass</i> dan 4 <i>tube pass</i> . (Cengel, 2003)	10
Gambar 2. 5 Pola susunan <i>tube</i> (Kakac, 2002)	11
Gambar 2. 6 Tipe <i>Plate Baffle Heat Exchanger Shell and Tube</i>	12
Gambar 2. 7 Standar konstruksi alat penukar kalor <i>Shell and Tube</i> menurut TEMA (TEMA, 2007)	13
Gambar 2. 8 <i>Bill of Material Hydraulic System Shearing Line</i>	14
Gambar 2. 9 Spesifikasi <i>Heat Exchanger type SL-526</i> (Foshan Kamui Co. Ltd)	15
Gambar 2. 10 <i>Heat Exchanger Hydraulic System Shearing Line</i>	15
Gambar 2.11 <i>Double pipe heat exchanger</i> (Cengel, 2003) .	17
Gambar 3.1 <i>Station Pump Hydraulic System</i>	21
Gambar 3.2 <i>Manufactur dari System Hydraulic.</i>	22
Gambar 3.3 Program <i>Preventive Maintenance</i> Bulan Oktober 2019	23
Gambar 3.4 Data Delay Lini Produksi <i>Shearing Line 1</i> Bulan Februari 2020	24
Gambar 3.5 Model <i>Heat Exchanger</i>	25
Gambar 3.6 <i>Mesh Right Plane.</i>	26
Gambar 3.7 <i>Mesh Isometric Plane.</i>	27
Gambar 3.8 Diagram alir penelitian	28
Gambar 3.9 Diagram pengambilan data.	29
Gambar 3.10 Diagram analisis perhitungan	30
Gambar 3.11 Proses bisnis pabrik HSM.	31
Gambar 3.12 Alur proses produksi <i>Mill Lines</i>	32

Gambar 3.13 Gambar bahan baku dan hasil produksi dari <i>Mill Lines</i>	32
Gambar 3.14 Gambar alur lini produksi lanjutan <i>shearing line 1</i>	33
Gambar 3.15 Gambar bahan baku coil menjadi produk plate	34
Gambar 3.16 sirkuit <i>station pump</i> peletakan <i>heat exchanger</i> sistem <i>hydraulic</i>	35
Gambar 4.1 <i>Checklist</i> Data Temperatur Kondisi Normal	41
Gambar 4.2 <i>Checklist</i> Data Temperatur Kondisi Tinggi	45
Gambar 4.3 Perubahan Temperatur Pada Simulasi	51
Gambar 4.4 Hasil Simulasi Data 27 Oktober 2019	51
Gambar 4.5 Hasil Simulasi Data 28 Oktober 2019	52
Gambar 4.6 Hasil Simulasi Data 30 Oktober 2019	52
Gambar 4.7 Hasil Simulasi Data 30 Oktober 2019	53
Gambar 4.8 Hasil Simulasi Data 31 Oktober 2019	53
Gambar 4.9 Hasil Simulasi Data 2 Maret 2020	53
Gambar 4.10 Hasil Simulasi Data 3 Maret 2020	54
Gambar 4.11 Hasil Simulasi Data 4 Maret 2020	54
Gambar 4.12 Hasil Simulasi Data 5 Maret 2020	55
Gambar 4.13 Hasil Simulasi Data 6 Maret 2020	55
Gambar 4.14 Lapisan dinding <i>tube</i> yang mengalami <i>fouling</i>	57
Gambar 4.15 Lapisan <i>Fouling</i> pada saluran <i>sheel</i> dan <i>tube</i>	57
Gambar 4.16 Gambar kebocoran pada pipa instalasi air pendingin	59
Gambar 4.17 Gambar kebocoran <i>system hydraulic</i> pada <i>accumulator system</i>	60
Gambar 4.18 Skema <i>Chemical Cleaning Heat Exchanger</i>	61

DAFTAR TABEL

Tabel 3. 1 Data fisik dan kimiawi oli Turalik 48	39
Tabel 4.1 Data temperatur kondisi normal	42
Tabel 4.2 $T_{c,out}$ Temperatur Normal	43
Tabel 4.3 ΔT LMTD Temperatur Normal	43
Tabel 4.4 Q_{act} Temperatur Normal	45
Tabel 4.5 U Temperatur Normal	46
Tabel 4.6 Q_{maks} Temperatur Normal	47
Tabel 4.7 ϵ Temperatur Normal	47
Tabel 4.8 R _f Temperatur Normal	48
Tabel 4.9 Data temperatur kondisi tinggi	49
Tabel 4.10 $T_{c,out}$ Temperatur Tinggi	50
Tabel 4.11 ΔT LMTD Temperatur Tinggi	51
Tabel 4.12 Q_{act} Temperatur Tinggi	52
Tabel 4.13 U Temperatur Tinggi	53
Tabel 4.14 Q_{maks} Temperatur Tinggi	54
Tabel 4.15 ϵ Temperatur Tinggi	54
Tabel 4.16 R _f Temperatur Tinggi	55
Tabel 4.17 initial condition	56
Tabel 4.18 boundary condition	56
Tabel 4.19 Tabel perbandingan hasil efektivitas	62
Tabel 4.20 Perbandingan nilai <i>fouling factor</i> berikut	63
Tabel 4.21 Data Temperatur Normal Perbandingan Perhitungan Teoritis dan Logaritma <i>Solidworks Flow Simulation</i>	63
Tabel 4.22 Data Temperatur Tinggi Perbandingan Perhitungan Teoritis dan Logaritma <i>Solidworks Flow Simulation</i>	64

DAFTAR SIMBOL

Simbol	Keterangan
c_p	Kalor jenis spesifik (kJ/kg. °C)
T_h	Temperature fluida <i>oil</i> (°C)
T_c	Temperature fluida air (°C)
Q	Laju perpindahan kalor (W)
U	Koefisien perpindahan kalor total (W/m ² . °C)
A	Total luas permukaan kalor (m ²)
Q_{act}	Perpindahan kalor aktual (W)
Q_{maxs}	Perpindahan kalor maksimum yang mungkin (W)
C	Kapasitas panas (W/°C)
m	Laju aliran fluida (kg/s)
q_h	Debit aliran <i>oil hydraulic</i> (m ³ /s)
ρ_h	Massa jenis <i>oil hydraulic</i> (kg/m ³)
q_c	Debit aliran air Pendingin (m ³ /s)
ρ_c	Massa jenis air Pendingin (kg/m ³)
ΔT_1	Selisih temperatur antara fluida panas dan fluida dingin di sisi <i>inlet</i> (°C)
ΔT_2	Selisih temperatur antara fluida panas dan fluida dingin di sisi <i>outlet</i> (°C)
F	Faktor Koreksi
ΔT_{LMTD}	Selisih temperatur rata-rata logaritmik 2 fluida (°C)
ε	Efektivitas (%)